

زیرزمین

بررسی اندرکنش خاک - دیوار غیر مسلح

رضا پورحسینی*

(استادیار)

دانشکده هندسی عمران، دانشگاه بزد

نوید سلطانی (دانشجوی دکتری)

دانشکده هندسی عمران، دانشگاه شهید بهشتی

مهمنگی عمران شر夫، (ایران)، (تائیستان ۱۳۹۴) - ۱۳۹۲، شماره ۷/۱۰، ص. ۱۰۶-۱۰۳، دوری ۳

پایداری سازه‌های با مصالح بنایی به اندرکنش خاک - دیوار زیرزمین وابسته است. استفاده از روش متداول شبه استاتیکی مونوپو - اوکابه در تحلیل لرزه‌ی دیوارهای حائل دقت کافی ندارد. در این مطالعه اندرکنش خاک - دیوار بنایی زیرزمین در حالت دو بعدی کرنش صفحه‌یی و شرایط ژوتکنیکی آن به روش اجزاء محدود مدل سازی و رفتار دینامیکی دیوار حائل زیرزمین بررسی شده است. لنگر خشی پیشنهادی دیوار به عنوان ملاک عملکرد دیوار انتخاب و اثر بسامد تحریک لرزه‌یی، نوع خاک، ارتفاع و ضخامت دیوار برآورد شده است. براساس نتایج عددی، سرعت موج برushi خاک و بسامد تحریک در تحلیل دینامیکی دیوار نگهبان زیرزمین نقش به سازی دارد. هر چند که این مشخصات در روش مونوپو - اوکابه به حساب نیامده و به علت تعدد ساده‌سازی‌ها، نتایج این روش در مواردی بسیار محافظه‌کارانه یا غایبین است. لذا برای طراحی دیوار نگهبان زیرزمین، رویکرد اندرکنش خاک - دیوار ضروری به نظر می‌رسد.

واژگان کلیدی: اندرکنش خاک - دیوار، دیوار زیرزمین، مصالح بنایی غیرمسلح، تحلیل عددی.

r_porthoseini@yazd.ac.ir
nvd.soltani@gmail.com

۱. مقدمه

از دیوار بررسی شد که بر پایه‌ی نتایج حاصل، لحاظکردن اثر طبیعت سیکلی بار در طراحی دیوار حائل ضروری تشخیص داده شد.^[۱۱] مبحث هفتم مقررات ملی ساختمان برای دیوارهای نگهبان زیرزمین که انتهای آنها به سازه‌ی سقف اتکا دارد، اضافه فشار در شرایط لرزه‌یی را قابل صرف نظر می‌داند.^[۱۲] برخلاف انتظار در این حالت برای ارتفاع دیوار زیرزمین هیچ محدودیتی لحاظ نشده و میانی محاسباتی لازم نیز متناسب با سطح خطر زلزله ارائه نشده است. مبحث هفتم از مقررات ملی ساختمان در شرایطی که دیوار نگهبان زیرزمین از بالا آزاد باشد، رویه‌ی متداول محاسباتی دیوارهای نگهبان را پیشنهاد می‌کند.

در این مطالعه، با مدل سازی هم‌زمان دیوارهای نگهبان طرفین زیرزمین، با ارتفاع یک طبقه در وضعیت دو بعدی کرنش صفحه‌یی در نرم افزار اجزاء محدود زوتکنیکی PLAXIS ۸/۲. رانش دینامیکی خاک بررسی و ملاک شدت اندرکنش شده است.^[۱۳] همچنین پژوهشگران دیگری (۲۰۱۵) با هدف برآورد مقدار و توزیع فشار جانبی لرزه‌یی وارد بر دیوار حائل طریقی به کار آزمایشگاهی سانتریفیوژ و نیز مدل سازی اجزاء محدود غیرخطی اقدام کردند و روش‌های رایج را محافظه‌کارانه تشرییح دادند.^[۱۴] در دو پژوهش دیگر نیز با مطالعه‌ی مدل کوچک مقیاس دیوارهای صلب محدود شده، تأثیر بارگذاری سیکلی در سطح خاکریز پشت دیوار با تغییر فاصله

درصد قابل توجهی از ساخت و سازها در ایران به سازه‌های مصالح بنایی غیرمسلح اختصاص دارد. بررسی عملکرد لرزه‌یی سازه‌ها بیان‌گر خرابی بیشتر در سازه‌های با مصالح بنایی غیرمسلح است.^[۱۵] در ساختمان‌های مصالح بنایی، اعضای سازه‌یی مقاوم در برابر نیروهای جانبی، دیوارها هستند. پژوهش‌های انجام شده بیشتر حول محور عملکرد درون‌صفحه‌یی دیوارهای آجری است.^[۱۶-۲۰] و کمتر به رفتار خارج از صفحه‌یی آن مانند دیوارهای نگهبان زیرزمین توجه شده است.

در پژوهشی در سال ۲۰۱۰ اندرکنش عمودی خاک - دیوار با فنر غیرخطی مدل سازی و کوله‌یی بیل‌او دیوارهای حائل به روش اجزاء محدود تحت شتاب نگاشتهای زلزله تحلیل شد.^[۲۱] در مطالعه‌ی دیگری (۲۰۱۱) نیز اندرکنش خاک دیوار حائل بت مسلح زیرزمین با مدل نرم افزاری فلک (FLAC-2D) مطالعه و براساس نتایج بدست آمده از مدل‌های عددی، به اثر سطح خطر زلزله در طراحی این دیوارها توجه شده است.^[۲۲] همچنین پژوهشگران دیگری (۲۰۱۵) با هدف برآورد مقدار و توزیع فشار جانبی لرزه‌یی وارد بر دیوار حائل طریقی به کار آزمایشگاهی سانتریفیوژ و نیز مدل سازی اجزاء محدود غیرخطی اقدام کردند و روش‌های رایج را محافظه‌کارانه تشرییح دادند.^[۲۳] در دو پژوهش دیگر نیز با مطالعه‌ی مدل کوچک مقیاس دیوارهای صلب محدود شده، تأثیر بارگذاری سیکلی در سطح خاکریز پشت دیوار با تغییر فاصله

* نویسنده مسئول

تاریخ: دریافت ۱۳۹۲/۱۰/۱، صلاحیه ۱۳۹۲/۱۰/۲۱، پذیرش ۱۳۹۲/۱۰/۲۱

به دست آمده از این مدل‌ها به دیوارهای میان‌قابی هم قابل تعیین است.

۲. روش مونونوبه - اوکابه (M-O)

تحلیل‌های دینامیکی در حوزه‌ی زمان و با استفاده از نرم‌افزار اجراء محدود [۱۴] ۸/۲ PLAXIS انجام شده است. حرکت وابسته به زمان یک حجم تحت تأثیر بار دینامیکی به صورت معادله‌ی بنیادی ۱ است:

$$\begin{aligned} M \ddot{u} + C \dot{u} + Ku &= F \\ M &= M_{soil} + M_{stru} \\ C &= C_{soil} + C_{stru} + C_{int} \\ K &= K_{soil} + K_{stru} + K_{int} \end{aligned} \quad (1)$$

در روابط مذکور، M ماتریس جرم کل محیط، C ماتریس میرایی کل، K ماتریس سختی کل، و F بردار بار است که در مسائل لرزه‌یی با شتاب زمین (g) متناسب است ($F = -M \ddot{u}_g$). تغییر مکان، سرعت و شتاب به ترتیب با u , \dot{u} و \ddot{u} معروف شده‌اند و زیرنویس‌های $intr$, $stru$, $soil$ و $intr$ به ترتیب مشخص‌کننده‌ی خاک، سازه و جزء فصل مشترک هستند.

اتلاف انرژی در این سیستم توسط میرایی و خواص کنسانترهای خاک شبیه‌سازی شده است. ضرایب میرایی شامل میرایی اصطکاکی کولمبی، میرایی هیسترزیس دیوار و میرایی وسکوژ خاک است. میرایی سیستم می‌تواند به صورت رایلی، تابعی از جرم و سختی و با ضرایب رایلی α_R و β_R , طبق رابطه‌ی ۲ فرمول‌بندی شود:

$$C = \alpha_R M + \beta_R K \quad (2)$$

اتگرال‌گیری در محدوده‌ی زمان، طبق روش ضمنی نیومارک، با استفاده از معادلات ۳ انجام می‌شود:

$$\begin{aligned} \dot{u}^{t+\Delta t} &= \dot{u}^t + ((1-b) \ddot{u}^t + b \ddot{u}^{t+\Delta t}) \Delta t \\ u^{t+\Delta t} &= u^t + \Delta u \end{aligned} \quad (3)$$

که در آن‌ها، Δt نمو زمانی، و a و b پارامترهای انتگرال‌گیری هستند. معادله‌ی ۱ در انتهای مرحله‌ی زمانی ($t + \Delta t$) به صورت رابطه‌ی ۴ نوشته می‌شود:

$$M \ddot{u}^{t+\Delta t} + C \dot{u}^{t+\Delta t} + Ku^{t+\Delta t} = F^{t+\Delta t} \quad (4)$$

با انجام عملیات ریاضیاتی بر روی معادلات ۳ و جایگذاری در رابطه‌ی ۴ و با ساده‌سازی رابطه‌ی ۵ را خواهیم داشت:

$$\begin{aligned} (\lambda_0 M + \lambda_1 C + K) \Delta u &= F_{ext}^{t+\Delta t} + M(\lambda_2 \dot{u}^t + \lambda_3 \ddot{u}^t) \\ &\quad + C(\lambda_4 \dot{u}^t + \lambda_5 \ddot{u}^t) - F_{int} \end{aligned} \quad (5)$$

به طوری که ضرایب λ_0 تا λ_5 در هر مرحله‌ی زمانی بر حسب مقدار نمو زمان و پارامترهای a و b بیان می‌شوند. از رابطه‌ی ۵، مقدار Δu محاسبه و به تغییر مکان مرحله‌ی زمانی قبل (u^t) اضافه می‌شود.

۴. شرایط مرزی و بارگذاری

محدوده‌ی مرزها در تحلیل دینامیکی نسبت به تحلیل استاتیکی وسیع‌تر است، تا شرایط آزاد میدانی در نواحی دوردست ایجاد شود. به کمینه‌رساندن تعداد

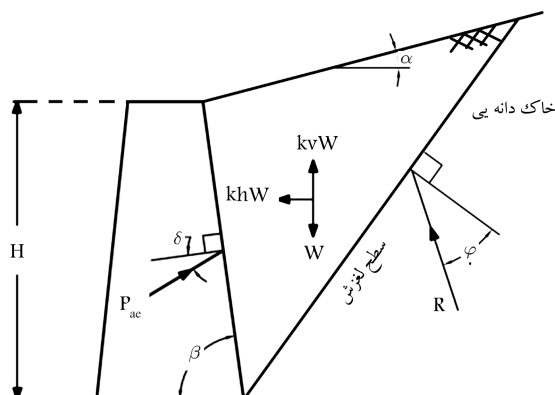
مونونوبه و ماتسو^۱ (۱۹۲۹) و اوکابه^۲ (۱۹۲۶) نیروی رانش دینامیکی خاک‌های دانه‌یی در حالت زلزله را به صورت شبیه استاتیکی تعیین کرده‌اند. این روش سسطیافته‌ی کولمب است و با درنظرگرفتن نیروهای ایزوسی وارد برگوه‌ی گسیختگی خاک پشت دیوار ضرایب رانش دینامیکی خاک در حالات فعل و مقام محاسبه می‌شود. این مدل محاسباتی مبتنی بر فرضیات ساده‌کننده‌ی هندسی، رفتاری مصالح و بارگذاری است که می‌تواند خطاهای زیادی به همراه داشته باشد. سید^۳ و ویتمان^۴ (۱۹۷۰) با مقایسه‌ی نتایج آزمایشگاهی محل اثر نیروی رانش فعل را پیشنهاد داده‌اند. پس از سید و ویتمان، پژوهشگران دیگری به منظور کنترل و مقایسه‌ی روش‌های پیشنهادی خود و یا بنا به نیاز روش M-O را مورد ارزیابی قرار داده‌اند. نیروهای مؤثر درگوه‌ی گسیختگی خاک در شکل ۱ نشان داده شده است، که در آن، k_h و k_v به ترتیب ضرایب شتاب افقی و قائم زلزله به شتاب جاذبه‌ی زمین، φ و δ به ترتیب زاویه‌ی اصطکاک داخلی خاک و زاویه‌ی اصطکاک خاک - دیوار و w وزن گوه‌ی خاک هستند. استفاده از روش M-O در طراحی‌های ژئوتکنیکی محدودیت‌هایی دارد، مانند: مدل سازی خاک بدون چسبندگی، درنظرنگرفتن تأثیر آب زیرزمینی، عدم بررسی پایداری شبیه خاکریز پشت، معرفی بارگذاری لرزه‌یی با بیشینه‌ی شتاب زمین (PGA)، لحاظ نشدن حرکت گوهاری دیوار تقویت حرکت ارتعاشی در خاک و عمق قرارگیری سازه‌ی دیوار و تأثیر آن در اندرکنش خاک - دیوار. برای محاسبات دینامیکی دیوار زیرزمین این محدودیت‌ها به موارد مذکور اضافه می‌شود:

۱. در آزمایش مونونوبه - ماتسو، پایین دیوار به صورت لولایی است به طوری که امکان جابجایی افقی ندارد.

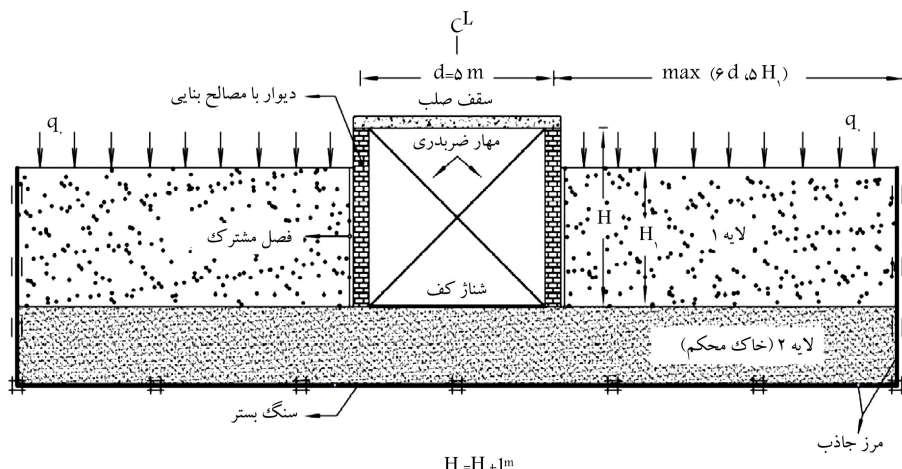
۲. بالای دیوار در آزمایش مونونوبه - ماتسو آزاد در نظر گرفته شده است و مانند دیوارهای زیرزمین در بالا ثابت یا بسته نیست.

۳. ابعاد و صلبیت دیوار زیرزمین با دیوارهای آزمایشی یکسان نیست و اثر مقیاس در نتایج اعمال نشده است.

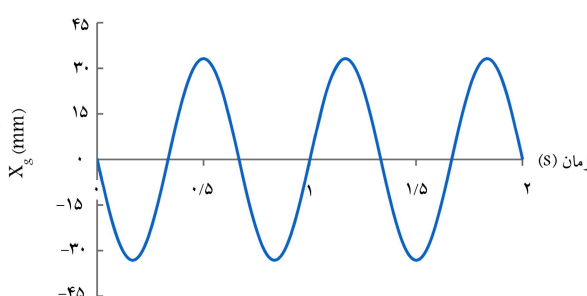
با وجود این مغایرت‌ها استفاده از روش M-O برای محاسبه‌ی دیوار حائل زیرزمین در مستنداتی مانند FEMA ۴۵۰ مجاز است. [۱۲]



شکل ۱. نیروی رانش فعل لرزه‌یی (P_{ac}) در روش M-O.



شکل ۲. نمای دو بعدی از مشخصات مدل (بدون مقیاس).



شکل ۳. تحریک اعمالی به سنگ بستر با بسامد ۱.۵ HZ.

۵. مشخصات مصالح

در اغلب مسائل دینامیکی، مدل سازی خاک پشت دیوار بدون چسبندگی ($\gamma \approx 0^\circ$) و تحلیل رفتار غیرخطی آن با مدل کشسان خمیری موهر-کولمب انجام شده است. با توجه به وابستگی مدول برشی و میرایی خاک به سطح کرنش و نزدیکی از مدل ویسکو-کشسان خمیری با وضعیت کشسان غیرخطی ارجح است، اما به علت پیچیدگی و افزایش زمان محاسبات در مسائل دینامیکی به کشسان خمیری بسندیده شده است. مشخصات ژئومکانیکی زمین در دو لایه طبقه‌بندی و در چند مدل ارائه شده است. رفتار غیرخطی خاک پشت دیوار با استفاده از مدل موهر-کولمب و به حالت خمیری همساز^۹ شیوه‌سازی شده است. لایه ۲ از مصالح بسیار فشرده و کشسان است، که با هدف انتشار بهتر امواج تحریک لرزه‌یی، به عنوان سنگ بستر با ضخامت ۲ متر مدل سازی شده است. در چند E , I مدول کشسانی دینامیکی، γ وزن مخصوص خاک، v نسبت پوآسون، η سرعت موج برشی، c و φ به ترتیب مقاومت چسبندگی و زاویه اصطکاک داخلی خاک هستند.

قبل از انهدام دیوار، مدول کشسانی دینامیکی دیوار با مصالح بنایی غیرمسلح (E') را می‌توان از آزمایش ارتعاش آزاد جانبی ستون طره‌یی از مصالح بنایی تعیین کرد. اگر A سطح مقطع عرضی، I ممان اینرسی خمشی مقطع، γ جرم مخصوص مصالح مصرفی، و N بسامد طبیعی ارتعاش آزاد برای ستونی به طول L باشد، مدول کشسانی دینامیکی از رابطه‌یی 6 تعیین می‌شود:

$$E' = 3,204 N^{\frac{L}{I}} A \gamma \quad (6)$$

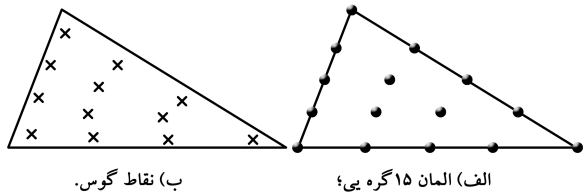
المان‌ها سبب افزایش سرعت محاسبات به ویژه در حالت دینامیکی می‌شود. هر چه ابعاد مدل کوچک‌تر شود، اثر شرایط مرزی مهم‌تر می‌شود. در یک تحلیل دینامیکی، شبیه‌سازی میرایی شعاعی اهمیت خاصی خواهد داشت. در مدل‌های دینامیکی با تعریف مرز جاذب^۵ انعکاس امواج حذف می‌شود، تا اثر مرزهای نامتناهی برای عبور ارتعاشات و عدم بازتاب امواج به داخل مدل شبیه‌سازی شود. مدل دو بعدی دینامیکی اندرکش خاک و سازه در شکل ۲ نشان داده شده است.

در اینجا مرزهای قائم طرفین در جهت قائم آزاد و در جهت افق مقید هستند. نقاط مرزی واقع بر سنگ بستر افقی در پایین مدل، در دو جهت x و y مقید شده‌اند. توپوگرافی منطقه، مشخصات پروفیل خاک و همچنین شبیه‌سازی سنگی تأثیر قابل ملاحظه‌یی در تقویت^۶ و یا تضعیف^۷ امواج لرزه‌یی دارند. در صورت وجود توپوگرافی‌های ناهمگون، رسوبات محلی، و یا شبیه‌سازی سنگی، اثرات ساختگاهی یادشده باید در مدل سازی وارد شوند.^[۱۵]

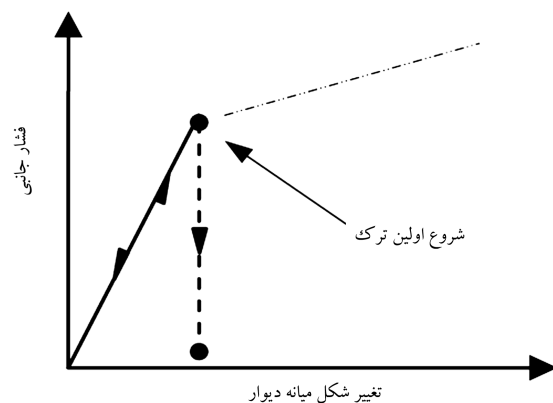
امواج تحریک زلزله را می‌توان به ترکیبی از چندین موج هارمونیک تبدیل کرد. در مدل سازی زلزله با امواج هارمونیک و بسامد غالب زلزله، مقدار جابجایی محاسباتی نسبت به تحریک زلزله‌یی معادل، اندکی بیشتر است که این به دلیل اثر خود التیامی^۸ تحریک زلزله است.^[۱۶] بنابراین موج هارمونیک می‌تواند برای تحلیل مشخصات حرکت زمین مورد استفاده قرار گیرد و اثر بسامد تحریک زلزله است. در این مطالعه تحریک اعمالی از اندرکش خاک - سازه قابل بررسی است. در این مطالعه تحریک اعمالی از نوع موج SV و به صورت سینوسی با شتاب بیشینه (PGA) برابر با $0.3 g$ در نظر گرفته شده است. با دو بار انتگرال‌گیری از شتاب، جابجایی بستر تعیین و این تحریک به صورت جابجایی از پیش تعیین شده به سنگ بستر اعمال شده است. با توجه به ابعاد مدل و زمان لازم برای استهلاک جواب‌های گذرا (مراحم) و نیز هماهنگی با اثر شتاب نگاشت زلزله، تعداد سیکل‌های تحریک وارد برابر با 3 انتخاب شده است. نتایج عددی به دست آمده در تحلیل رفتار دیوار، کفايت تعداد 3 سیکل در محدوده بسامد مورد بررسی را نشان داده است، به طوری که با در نظر گرفتن تعداد سیکل بیشتر در مقدار تغییرشکل و لنگر خمشی دیوار مقاومت قبل ملاحظه‌یی ایجاد نشده است. ضمناً در مطالعه‌یی بر روی دیوار حائل‌ها،^[۱۹] از اثر 3 سیکل تحریک لرزه‌یی سینوسی استفاده شده است. به عنوان نمونه در شکل 3 تحریک لرزه‌یی اعمالی به سنگ بستر با بسامد $1.5 HZ$ نشان داده شده است.

جدول ۱. مشخصات لایه‌های خاک.

φ°	c (kPa)	v_s (m/s)	γ (kN/m ³)	v	E (kPa)	مدل مصالح	نوع خاک	لایه
۳۲	۵	۶۰۰	۱۸	۰,۳۳	$۱,۷ \times ۱۰^6$		S1	
۳۲	۵	۴۵۰	۱۸	۰,۳۳	۱۰^6		S2	
۲۸	۵	۳۰۰	۱۶	۰,۳۳	۴×۱۰^5	موهر - کولمب	S3	۱
۲۸	۵	۱۵۰	۱۵	۰,۳۳	۱۰^5		S4	
-	-	۶۰۰	۲۰	۰,۳۳	۵×۱۰^6	کشسان	سنگ بستر	۲



شکل ۴. معرفی المان ۱۵ گره‌یی مورد استفاده در تحلیل.



شکل ۵. مدل سازی رفتار عمود بر صفحه‌ی دیوار آجری غیر مسلح.

آن درگیری کامل برپی در نظر گرفته شده است ($R_{intr} = 1$). به طوری که اعمال این شرایط باعث افزایش رانش افقی وارد بر دیوار و M_{max} شده و طراحی دیوار محافظه کارانه خواهد شد.

تأثیر سازه‌ی مجاور با اعمال سربار q_0 در سطح خاک و به شدت 10 kPa معادل سازه‌ی یک طبقه لحاظ شده است. همچنین بر روی شناور کف، $m_0, 5^\circ$ خاک با مشخصات لایه‌ی ۱ مدل شده است. این تأثیر از ایجاد نقاط تکین در مدل رفتاری موهر - کولمب می‌کند.

با توجه به عرض کم شالوده در سازه‌های با مصالح بنایی از یک سو و شکل (مود) گسیختگی غالب دیوار زیرزمین که از نوع انتقالی است. از سوی دیگر، بررسی اندکشین بین پی و دیوار اهمیت ندارد و در نتایج مؤثر نیست. از این رو به منظور افزایش کارایی محاسباتی مدل شرایط تکیه‌گاهی دیوار به صورت غلتکی مدل شده است. در این مطالعه از روان‌گرایی و دیگر گسیختگی‌های موضعی و گهواره‌ی در پی صرف نظر شده است.

اثر سقف صلب و شناور بندی کف با المان مهار افقی و سختی برپی درون صفحه‌ی دیوارهای نسبی زیرزمین در جهت زلزله، با مهار بندهای ضربه‌دری

که در آن، g شتاب جاذبه‌ی زمین است. بر پایه‌ی نتایج آزمایشگاهی، مقدار مدلول کشسانی دینامیکی مصالح بنایی از مدلول کشسانی استاتیکی آن بیشتر است، که این خاصیت در مورد بتن نیز شناخته شده است. [۲۰]

مشخصات مکانیکی دیوار آجری به عوامل متعددی مانند: ابعاد و مقاومت آجر، نحوی آجرچینی و مشخصات ملات بستگی دارد. در تحلیل‌های انجام شده، مدلول کشسانی دینامیکی و نسبت پوآسون دیوار آجری به ترتیب $0.3 \times 10^6 \text{ kPa}$ و 0.3 در نظر گرفته شده است. وزن مخصوص دیوار با احتساب وزن لایه‌های سازه‌ی و غیرسازه‌ی نسبت به حجم بخش سازه‌ی 30 kN/m^3 منظور شده است. سطح مقطع و ممان اینرسی دیوار نیز بر مبنای ضخامت بخش سازه‌ی برای هر مدل محاسبه شده است.

۶. مدل سازی اندکش دینامیکی خاک و دیوار زیرزمین

اعتبار نتایج تحلیل دینامیکی نرم افزار PLAXIS ۸/۲ در مقایسه با روش کوبی المان محدود - نامحدود، [۲۱] تأیید شده است. در این مطالعه اندکش دینامیکی خاک - دیوار حائل زیرزمین در محیط این نرم افزار در حالت کرنش صفحه‌ی 1° مدل سازی و تحلیل شده است. محیط خاک با استفاده از المان‌های ۱۵ گره‌یی به دلیل دقت بالاتر در محاسبات، شبکه‌بندی شده است. مطابق شکل ۴، المان‌های مذکور دارای دو درجه‌ی آزادی در هر گره و با 12° نقطه‌ی گوس هستند. برای حفظ دقت محاسبات دینامیکی، ابعاد المان‌ها به یک هشتمن تا یک دهم طول موج محدود شده است تا امواج فیلتر نشوند. [۲۲]

دیوار با مصالح بنایی غیر مسلح، رفتار ترد و شکننده دارد. رفتار دیوار آجری غیر مسلح در برابر فشار جانبی مطابق شکل ۵ است و تا قبل از تک خوردگی در تحلیل‌ها به صورت کشسان مدل سازی شده است. مدل سازی رفتار عمود بر صفحه‌ی دیوار آجری با استفاده از المان پوسته - ورق 1° انجام شده است. این المان در وضعیت دو بعدی همانند تیر با مشخصات صلبيت حمسی و صلبيت محوري، (EI, EA_w) در واحد طول تعریف می‌شود.

اتصال برپی خاک - دیوار و خاک - شالوده (شناور) به طور واضحی در اندکش دینامیکی خاک - دیوار مؤثر است. به منظور مدل سازی اتصال خاک و دیوار از المان فصل مشترک استفاده شده است. این المان‌ها شرایط متفاوت اتصال برپی بین دو جزء را با پارامتر R_{intr} شبیه سازی می‌کنند.

مقدار این پارامتر بین $1 \leq R_{intr} \leq 10^5$ به ترتیب برای حالت درگیری کامل و بدون درگیری برپی انتخاب شده است. مقدار R_{intr} در مدل سازی فصل مشترک خاک با دیوار زیرزمین برابر با 10^5 در نظر گرفته شده است، که شرایط لغزش بدون زاویه اصطکاک ($\theta = 0^\circ$) بین آن دو شبیه سازی می‌کند و بین شناور گفت و خاک زیر

مرحله بندی گودبرداری و فعالسازی دیوار لحاظ شده است. در زمان شروع تحریک دینامیکی، تغییرشکل‌های استاتیکی مجموعه به صفر تنظیم شده است.

(x) اعمال شده است. المان مهار بدون صلبیت خمشی است و به منظور تأمین صلبیت جانبی سازه، مقدار EA مساوی 10^6 kN در نظر گرفته شده است.

کالیفره بودن مدل با مطالعات پارامتری^{۱۲} مورد بررسی و تأیید قرار گرفته است. این بررسی‌ها بر روی پارامترهای مقاومت چسبندگی، زاویه اصطکاک داخلی و مدول کشسانی خاک، صلبیت خمشی و صلبیت محوری دیوار_w (EI, EA_w) انجام شده است. با توجه به نتایج عددی افزایش_w (EI) به طور قابل ملاحظه M_{max} را افزایش می‌دهد، اما نتایج_w (EI) در قابل چشم‌پوشی است. همچنین با افزایش پارامترهای مقاومت چسبندگی، زاویه اصطکاک داخلی و مدول کشسانی خاک (M_{max}) آهنگ کاهشی دارند. براساس نتایج عددی در این بخش، با افزایش R_{intr} بین خاک و شالوده و یا کاهش آن بین خاک و دیوار، رانش دینامیکی افقی وارد بر دیوار و M_{max} افزایش نشان می‌دهند.

با توجه به اینکه مقدار M_{max} در طراحی دیوار تعیین‌کننده و نیز به نحوی در برگیرنده توزیع فشار جانبی دینامیکی خاک است، این عامل برای بررسی اندرکش خاک - دیوار انتخاب شده است. پس از اطمینان از کالیفره بودن مدل، تأثیر بسامد تحریک اعمالی، ارتفاع، وضعیت میزانهای زلزله توسط نودا^{۱۴} و همکاران^{۱۹۷۵} به دست آمده است.^[۲۲]

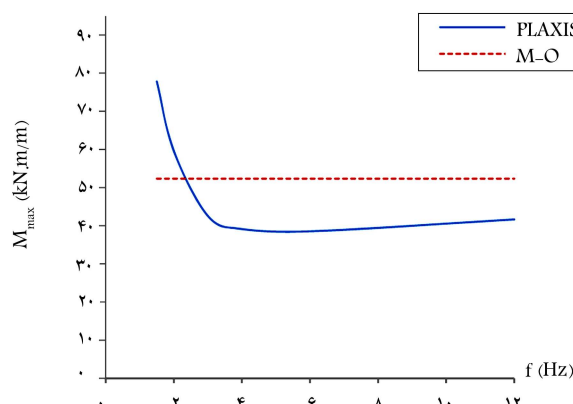
تأثیر بسامد تحریک در مقدار M_{max} در شکل ۷ نشان داده شده است. به منظور مقایسه نتایج عددی با روش تحلیل شباهتیکی M-O، مقدار ضریب ستایب افقی (k_h) از رابطه^{۱۵} ۷ و برابر با ۰/۲۲ تعریف شده است. این رابطه با بررسی و اندازه‌گیری محلی دیوار وزنی طی ۱۲ زلزله توسط نودا^{۱۴} و همکاران^{۱۹۷۵} به دست آمده است.^[۲۲]

$$\begin{cases} k_h = \frac{PGA}{g} & PGA \leq 0,2g \\ k_h = \frac{1}{\tau} \left(\frac{PGA}{g} \right)^{\frac{1}{\tau}} & PGA > 0,2g \end{cases} \quad (7)$$

مطابق رابطه^{۱۵} ۷، روش M-O در بارگذاری با بسامد‌های کم، نتایجی غیرایمن و در بسامد‌های زیاد نتایجی محافظه‌کارانه ارائه می‌دهد. در این بررسی تفاوت بین نتایج حاصل از دو روش نسبت به روش M-O به ۵۰٪ نیز می‌رسد و این تفاوت با افزایش بسامد کاهش می‌یابد.

در ادامه، اثر بسامد تحریک در خیز وسط یا به عبارتی تغییر مکان نسبی دیوار بررسی شده است. تأثیر بسامد در خیز وسط دیوار با تعداد سیکل‌های بارگذاری در شکل ۸ ارائه شده است. نتایج سیکل اول به عامت تداخل جواب‌های گذرا، دقت کافی ندارند.

مطابق شکل ۸، پاسخ دینامیکی دیوار به بسامد تحریک وابسته است و با افزایش زمان تداوم بارگذاری تغییرشکل نسبی دیوار زیاد شده است. همچنین در حوزه‌ی بسامدی مورد بررسی، انتخاب تعداد ۳ سیکل برای مطالعه‌ی دیوار زیرزمین کافی به نظر می‌رسد.

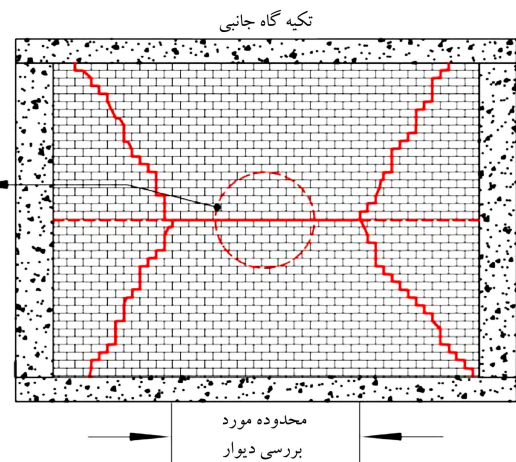


شکل ۷. تغییرات لنگر خمشی بیشینه‌ی دیوار با بسامد تحریک.

از آنجاکه بررسی اندرکش دینامیکی بین خاک و دیوار با استفاده از مدل دو بعدی کرنش صفحه‌یی انجام شده است، نتایج ارائه شده در محدوده نشان داده شده در شکل ۶ معتبر است. در خارج از این محدوده استفاده از مدل‌های سه بعدی ضروری است.

در مدل سازی‌های انجام شده، اثر صلبیت جانبی قسمت بالا و پایین دیوار به دلیل درگیری با سقف و شنازکف با المان‌های مهاربند افقی لحاظ شده است. همچنین با توجه به اینکه ارتفاع دیوار حائل زیرزمین در ساختمان‌های متعدد کوتاه‌تر از ۶ متر و ۱۵ برابر ضخامت آن است، مقدار لنگرهای مضاعف (مرتبه‌ی دوم) بسیار ناچیز است، از این رو اثر سازه‌ی فوقانی^{۱۳} در تحمل‌ها وارد نشده است.

شرایط ژوتکنیکی دیوار حائل زیرزمین و اعمال تنش‌های اولیه در خاک با



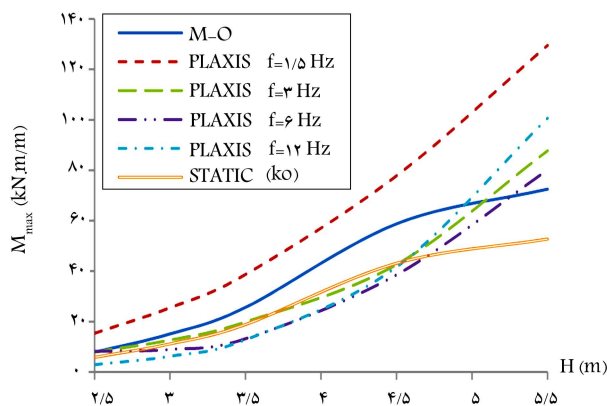
شکل ۶. الگوی شکست دیوار بر اثر بارگذاری عمود بر صفحه.

و فضای خالی پشت دیوار خاکریزی شده است. این خاکریز به عرض ۱ متر از خاک نوع S۴ بین دیوار و زمین مجاور مدل سازی و زمین مجاور از نوع خاک S۱ و S۲ در نظر گرفته شده است. به لحاظ شرایط اجرا، با مقایسه تابع عددی و لنگر خمشی بیشینه دیوار در حالتی که زمین ساختگاه از نوع خاک S۱ و یا S۲ است، به ترتیب از نتایج مدل همگن خاک پشت دیوار در یک رده پایین تر (S۳) استفاده شده است.

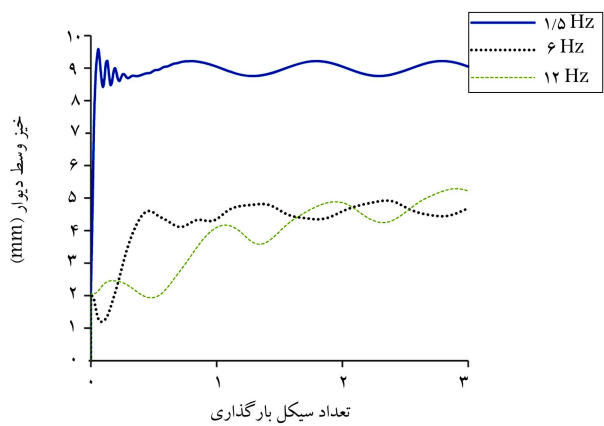
۹. اثر ارتفاع دیوار

اثر ارتفاع دیوار آجری زیرزمین در لنگر خمشی بیشینه آن برای ارتفاع های $H/t = 2, 5, 3, 2, 5, 4, 5, 5, 5$ در $H = 2, 5, 3, 2, 5, 4, 5, 5, 5$ و نوع خاک S۳ مورد بررسی قرار گرفته است. با توجه به شرایط مرزی دیوار، وضعیت عملکرد آن به سکون نزدیک است. به منظور بررسی تأثیر جابجایی نسبی بین خاک و دیوار دو وضعیت حدی سکون و رانش محرك M-O مورد توجه قرار گرفته است.

در شکل ۱۰، نتایج عددی حاصل از مدل محاسباتی با روش M-O و وضعیت سکون (k_0) مقایسه شده است. مقدار k_0 از رابطه $(\varphi = 1 - \sin \phi)$ برای محاسبات انتخاب شده است. همان‌گونه که پیش‌بینی می‌شود، ارتفاع دیوار آجری تأثیر قابل ملاحظه‌ی در لنگر خمشی بیشینه دیوار دارد. با بررسی این شکل مشخص می‌شود که در بسامد تحریک بیش از ۳ Hz، نتایج اندرکش بین خاک و دیوار به لحاظ طراحی تفاوت معناداری ندارد، که این موضوع در شکل ۷ نیز مشخص است. در بسامد تحریک ۱/۵ Hz در تمامی ارتفاع های مورد بررسی روش M-O نتایجی غیرایمن ارائه داده است. در بسامدهای تحریک بیشتر یا مساوی ۳ Hz، نتایج روش M-O در دیوارهایی با ارتفاع کمتر از ۵ متر محافظه کارانه و با ارتفاع های بیشتر غیرایمن است. نتایج نشان می‌دهد که فقط در دیوارهایی با ارتفاع کمتر از ۴/۵ متر و بسامد تحریک بیشتر یا مساوی از ۳ Hz، اثر رانش دینامیکی خاک قابل چشم‌پوشی و استفاده از نتایج تحلیل استاتیکی در طراحی قابل اعتماد است. به منظور استفاده از نتایج تحلیل استاتیکی در طراحی دیوار زیرزمین لازم است محدودیت‌هایی در ارتفاع دیوار و بسامد بارگذاری قائل شد. با تغییر سطح خطر زلزله، شتاب اعمالی به سنگ بسته و نتایج تحلیل دینامیکی متناسبًا تغییر می‌یابند، لذا دامنه‌ی اعتبار رانش استاتیکی در طراحی دینامیکی دیوار نگهبان زیرزمین به سطح خطر زلزله نیز وابسته است.



شکل ۱۰. اثر ارتفاع دیوار در لنگر خمشی بیشینه آن در تحلیل دینامیکی و استاتیکی.



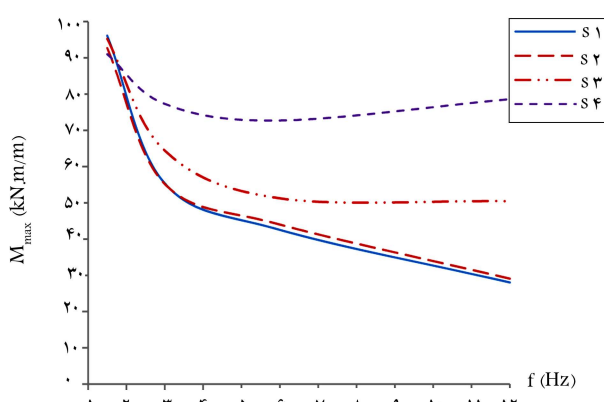
شکل ۸. اثر بسامد تحریک و تعداد سیکل در خیز وسط دیوار

۸. اثر نوع خاک

در این مرحله اثر مشخصات خاک پشت دیوار در اندرکنش این دو با درنظر گرفتن ۴ نوع خاک (S۱-S۴) مطابق با جدول ۱ بررسی شده است. محدوده‌ی سرعت موج بررسی خاک‌ها براساس طبقه‌بندی نوع زمین در استاندارد ۲۸۵۰ انتخاب شده است. مشخصات هندسی دیوار با ارتفاع (H) ۴, ۵ m و ضخامت سازه‌ی (t) ۰, ۴۵ m است. در شکل ۹، نتایج عددی حاصل از مدل اجزاء محدود در بررسی انواع خاک ارائه شده است که مطابق آن خاک‌های S۱ و S۲ رفتاری تقریباً مشابه در بسامدهای مختلف بارگذاری نشان داده‌اند؛ در حالی که با تغییر نوع خاک از S۲ به S۳ و از S۳ به S۴ افزایش قابل ملاحظه‌ی در پاسخ دینامیکی دیوار به تحریک لرزه‌ی به وجود آمده است. با ضعیف شدن خاک پشت دیوار انرژی کمتری توسعه خاک جذب شده و بنابراین لنگر خمشی دیوار افزایش یافته است. نکته‌ی قابل توجه اینکه در بسامدهای نزدیک به ۱/۵ Hz این ۴ نوع خاک تأثیر تقریباً یکسانی در دیوار دارند. همچنین مقدار اختلاف بین نتایج برای خاک‌های مختلف با افزایش محتوای بسامدی تحریک افزایش یافته است. فقط در این بخش به منظور مقایسه اثر نوع خاک، مصالح بدون میرایی α_R و β_R مساوی با صفر در نظر گرفته شده است.

۹. اثر شرایط اجرایی

به لحاظ مسائل ساخت و آب بندی دیوار ابعاد گود زیرزمین مقداری بزرگ‌تر اجرا



شکل ۹. تأثیر نوع خاک در لنگر خمشی بیشینه دیوار.

۱۱. نتیجه‌گیری

در بررسی پایداری سازه‌های با مصالح بنایی غیرمرسلع، مطالعه‌ی اندرکنش دینامیکی خاک و دیوار نگهبان زیرزمین اهمیت دارد. اندرکنش دینامیکی خاک - دیوار آجری زیرزمین یک طبقه به روش اجراء محدود و با تحریک لزه‌ی سینوسی سنتر مدل سازی شده است. با حصول اطمینان از اعتبار مدل، اثر بسامد تحریک، نوع خاک، ارتفاع دیوار، و سختی دیوار بررسی شده است. با توجه به نتایج به دست آمده می‌توان گفت:

- تغییر بسامد تحریک در محدوده کمتر از $HZ = 3$ به طور واضح در پاسخ دینامیکی دیوار تأثیرگذار است و با افزایش بسامد خیز دیوار و لنگر خمشی بیشینه‌ی آن (M_{max}) کاهش می‌یابد.

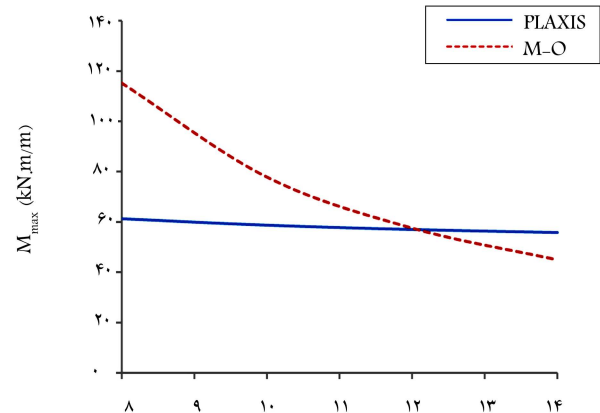
- بسامدهای تحریک بزرگ‌تر از $HZ = 3$ به لحاظ محاسباتی تفاوت معناداری در پاسخ دینامیکی دیوار ایجاد نمی‌کند.

- تغییر سرعت موج برشی خاک از 150 m/s به 450 m/s (S_2): سبب کاهش قابل ملاحظه‌ی در M_{max} می‌شود، در حالی که با افزایش سرعت موج برشی به بیش از 450 m/s تغییرات M_{max} ناچیز است. این بیان‌گر وجود محدوده‌ی برای تأثیرگذاری فشرده‌گی خاک در پاسخ دینامیکی دیوار است.

- افزایش ارتفاع و نسبت ارتفاع به ضخامت دیوار مقدار M_{max} را به ترتیب به طور مضاعفی تشدید و کاهش می‌دهد.

- نتایج روش مونوبه - اوکابه، برای بسامدهای تحریک زیاد (بیش از $HZ = 1/5$) و ارتفاع دیوار کمتر از ۵ متر در طراحی دیوار زیرزمین می‌تواند محافظه کارانه باشد. از این رو در تحلیل دینامیکی دیوار زیرزمین نمی‌توان فقط به نتایج این روش بسنده کرد.

- استفاده از وضعیت بارگذاری استاتیکی (k_0) برای طراحی دیوارهای نگهبان زیرزمین که به سقف اتکا دارند، با محدودیت ارتفاع، بسامد بارگذاری و سطح خطر زلزله قابل بررسی است.



شکل ۱۱. تغییرات لنگر خمشی بیشینه‌ی دیوار با ضخامت آن (t).

۱۰. اثر ضخامت دیوار

اثر ضخامت دیوار آجری در شرایط $H = 4,5 \text{ m}$ و با نسبت ارتفاع به ضخامت $H/t = 8, 10, 12, 14$ و خاک نوع S^3 بررسی شده است. در این مرحله، بسامد بارورودی $1/5 \text{ HZ}$ منظور شده است.

تغییرات لنگر خمشی بیشینه‌ی دیوار با ضخامت آن با توجه به نتایج عددی مدل‌ها به همراه نتایج روش مونوبه - اوکابه در شکل ۱۱ ارائه شده است. با افزایش ضخامت دیوار، کاهش H/t ایزوری اینرسی تعقیل‌گرفته به دیوار آجری، و لنگر خمشی به وجود آمده در دیوار از روش M-O افزایش یافته است. از این رو در شکل ۱۱ تغییرات M_{max} با افزایش H/t روند کاهشی دارد. با کاهش H/t ، لنگر بیشینه‌ی دیوار حاصل از مدل سازی عددی افزایش قابل ملاحظه‌ی را شناس می‌دهد، که حاکمی از جذب بیشتر انرژی توسط دیوار در این حالت است.

پانوشت‌ها

1. Matsuo
2. Okabe
3. Seed
4. Whitman
5. absorbing boundaries
6. amplification
7. attenuation
8. self healing
9. associated flow rule
10. plane strain
11. plate
12. parameter study
13. super structure
14. Noda

منابع (References)

1. Moghadam, H., *Seismic Design of Masonry Structures*, Sharif University Press, Tehran (2008) (in Persian).
2. Larbi, A. and Harris, H.G. "Seismic performance of low aspect ratio reinforced block masonry shear walls", *Proceedings of 4th U.S. National Conference on Earthquake Engineering*, 2 (20-24 May 1990).
3. Magenes, G. and Calvi, G.M. "Cyclic behavior of brick masonry walls", *Proceedings of the 10th WCEE*, Madrid, Spain (19-24 July 1992).
4. Jankolovski, E. and Parsanejad, S. "Earthquake resistance of unreinforced clay brick masonry walls", *Proceedings of the 2nd International Conference of Seismology*

- and Earthquake Engineering*, Tehran, Iran (15-17 May 1995).
5. Giordano, A., Mele, E. and De Luca, A. "Modeling of historical Masonry structures: Comparison of different approaches through a case study", *Engineering Structures*, **24**(8), pp. 1057-1069 (2002).
 6. Padovani, C. "Numerical modeling of the structural behavior of Butis bell tower", *Journal of Cultural Heritage*, **5**, pp. 371-378 (2004).
 7. Maleki, S. and Mahjoubi, S. "A new approach for estimating the seismic soil pressure on the retaining walls", *SCIENTIA IRANICA, Sharif University of Technology*, **17**(4), pp. 273-284 (2010).
 8. Taiebat, M., Ahmadnia, A., Finn, W.D., Ventura, C.E. and Naesgaard, E. "Seismic assessment of basement walls for different design criteria", CGS Geotechnical Conference, Pan-Am (2011).
 9. Al Atik, L. and Sitar, N. "Seismic earth pressure on cantilever retaining structures", *J. Geotech. Geoenvirons. Eng.*, **136**(10), pp. 1324-1333 (2010).
 10. Nikkhah, M. and Mir Mohammad Hosseini, S.M. "A new physical model to study the earth pressure under monotonic and cyclic surcharges", *J. Eng. Fac.*, Tehran University, **37**(1), pp. 47-66 (2005).
 11. Kargar, M. and Mir Mohammad Hosseini, S.M. "Earth pressure distribution behind rigid non-yielding walls under the effect of repeated loading on backfill", *Arab. J. Geosci.* (Online publication: 14 Nov. 2013).
 12. Iranian National Building Regulations (INBR), Article 7th: *Foundation Engineering*, Building and Housing Research Center (2009).
 13. Lew, M., Sitar, N., Al Atik, L., Pourzanjani, M. and Hudson M. "Seismic earth pressures on deep building basements", *SEAOC Convention Proceedings*, pp. 1-12 (2010).
 14. Brinkgreve, R.B.J. "PLAXIS V8.2: Finite element code for soil and rock analyses", Delft University of Technology& PLAXIS B. V., The Netherlands (2002).
 15. Soltani, N. "The effect of topographic irregularities on seismic ground response", M.S thesis, Faculty of Engineering, Shahid Bahonar University of Kerman (2010) (in Persian).
 16. Bazyar, M.H., Siavoshnia, M. and Sadeghpour, N. "Effect of a soil sample from the standard no. 2800 on earthquake amplification", Building and Housing Research Center (2005) (in Persian).
 17. Zhao, C. and Valliappan, S. "Incident P and SV wave scattering effects under different canyon topographic and geological conditions", *International Journal for Numerical and Analytical Methods in Geomechanics*, **17**(2), pp. 73-94 (1993).
 18. Weihua, L. and Chenggang, Z. "Scattering of plane SV waves by cylindrical canyons in saturated porous medium", *Soil Dynamics and Earthquake Engineering*, **25**(12), pp. 981-995 (2005).
 19. Bhattacharjee, A. and Muralikrishna, A. "Behavior of gravity retaining walls subjected to seismic excitation using FLAC 3D", *International Journal of Earth Sciences and Engineering*, pp. 71-74 (2011).
 20. Nategh Elahi, F. and Zand Parsa, K. "Computer modeling of masonry buildings", International Institute of Earthquake Engineering and Seismology (1996) (in Persian).
 21. Bagheripour, M.H. and Marandi, S.M. "A numerical model for unbounded soil domain in earthquake SSI analysis using periodic infinite elements", *International Journal of Civil Engineering*, **3**(2), pp. 96-111 (2005).
 22. Towhata, I., *Geotechnical Earthquake Engineering*, Springer (2008).